

بررسی حساسیت نانوماده مرکب نanolوله کربنی - اپوکسی در کرنش سنجی با استفاده از تغییرات مقاومت الکتریکی

امید سام دلیری^۱، آزاده وطنی^۲، علی بزرگمهر^۳

۱ دانشجوی دکتری، دانشکده مهندسی مکانیک، دانشگاه تهران، تهران، omid_sam@ut.ac.ir

۲ کارشناسی ارشد، دانشکده مهندسی مواد و متالورژی، دانشگاه علم و صنعت ایران، تهران

۳ دانشجوی دکتری، دانشکده مهندسی برق و کامپیوتر، دانشگاه شهید بهشتی، تهران

تاریخ دریافت: ۱۳۹۶/۰۲/۲۶

تاریخ پذیرش: ۱۳۹۶/۱۲/۰۵

چکیده

نانولوله‌های کربنی چندجداره، که در مواد پلیمری به کار می‌روند، با هدف ایجاد حسگر پیزو مقاومتی در پایش سلامت سازه‌های مهندسی استفاده می‌شوند. در این مقاله، حساسیت به تغییرات کرنش در نانوماده مرکب حاوی نanolوله کربنی - اپوکسی با استفاده از تغییرات الکتریکی بررسی شد. حسگر نانوماده مرکب روی یک تیر آلومینیمی یکسر گیردار چسبانده شده است تا اعمال کرنش روی آن ممکن باشد. ابتدا نanolوله‌های کربنی چندجداره با درصدهای مختلف وزنی از ۱/۰ تا ۵/۰ درون زمینه اپوکسی به صورت نسبتاً یکنواخت توزیع شدند. این فرایند توسط یک همزن مکانیکی انجام شد. بدین ترتیب ماده‌ای هوشمند و مناسب برای سنجش کرنش ایجاد گردید. با استفاده از میکروسکوپ الکترونی ریزساختار این حسگر بررسی شد تا نحوه توزیع نanolوله‌های کربنی درون زمینه اپوکسی و تشکیل شبکه رسانا مشخص شود. اثر فرایند آماده‌سازی نانوماده مرکب بر تغییرات الکتریکی و کرنش، طی بارگذاری مکانیکی بررسی شد. نتایج نشان داد که اختلاط اولیه اپوکسی و سخت‌کننده منجر به حساسیت بیشتر حسگر نسبت به تغییرات الکتریکی شده است. همچنین آماده‌سازی نمونه‌ها با دو دمای پخت ۸۰ و ۱۰۰ درجه سانتی‌گراد نشان داد که نمونه‌های ساخته شده با دمای پخت پایین‌تر، حساسیت بیشتری نسبت به کرنش اعمال شده دارند.

واژگان کلیدی

نانولوله‌های کربنی، نانوماده مرکب، تغییرات مقاومت الکتریکی، حسگر

۱. مقدمه

امروزه استفاده از مواد غیرارگانیک و افزایش استحکام و دوام مکانیکی سازه‌های مهندسی از مواد مرکب پیشرفته استفاده می‌شود. ذرات کربنی مانند

زمینه پلیمری، منجر به توسعه و بهبود عملکرد مواد مرکب شده

تغییر فاصله میان آنهاست. سومین دلیل تغییر در شبکه پیزو مقاومتی ناشی از تغییر شکل می‌باشد. از میان عوامل ذکر شده، دو عامل اول و دوم تأثیر قابل ملاحظه‌ای بر تغییرات مقاومت الکتریکی نانوماده مرکب در هنگام اعمال بار مکانیکی دارند. نینگ هو و همکاران [۲۲] با استفاده از مدل تحلیلی مونت کارلو، اثر توزیع زنی نانولله‌های کربنی در زمینه اپوکسی را روی تغییرات رسانایی این حسگر بررسی نمودند و نتایج خود را با استفاده از روش تجربی تأیید کردند. آنها در مدل تحلیلی، نانولله‌های کربنی توزیع شده در زمینه اپوکسی را به صورت استوانه‌ای در نظر گرفتند و در روش تجربی، اثر روش ساخت و پارامترهای آماده‌سازی را روی میزان تغییرات الکتریکی حسگر، بررسی نکردند. تنها پارامتر تجربی آنها کسر حجمی نانولله‌های کربنی بوده که برای درصدهای بالاتر از یک بررسی شد. تاکنون در مورد لزوم به کارگیری حسگر نانوماده مرکب نانولله کربنی - اپوکسی در ارزیابی سلامت سازها بحث شد. در بیشتر تحقیقاتی انجام شده در کرنش‌سنجی و آسیب‌سنجی با نانوماده مرکب نانولله کربنی - اپوکسی و با روش تغییرات الکتریکی، نانولله کربنی با درصد وزنی ثابت در زمینه اپوکسی ترکیب شده است. همچنین در این تحقیقات اثر سایر عوامل مانند شرایط آماده‌سازی نانوماده مرکب و دمای پخت، روی تغییرات الکتریکی حسگر مورد بررسی قرار نگرفته است؛ زیرا هر چقدر نانوماده مرکب به عنوان حسگر، حساسیت بالاتری نسبت به کرنش داشته باشد، ارزیابی سلامت سازه بهتر انجام می‌شود. یکی از عوامل مهم و اثرگذار بر حساسیت این حسگرهای درصد وزنی نانولله‌های کربنی موجود در نانوماده مرکب می‌باشد. این مقاله با هدف افزایش دقیق حسگر در کرنش‌سنجی سازه‌ها ارائه شده است. این نانوماده مرکب یا حسگر با درصدهای مختلف وزنی از نانولله کربنی و در دمای پخت مختلف آماده شده است. در این تحقیق، برای اندازه‌گیری تغییرات مقاومت الکتریکی، حسگر را روی یک تیر یکسر گیردار آزمایشی تغییرات الکتریکی، حسگر را روی یک تیر یکسر گیردار آزمایشی چسبانده و نیروی مکانیکی عمود بر سطح افقی تیر اعمال شد.

۲. روند آزمایشگاهی

۲-۱. مواد اولیه و آماده‌سازی نمونه‌ها

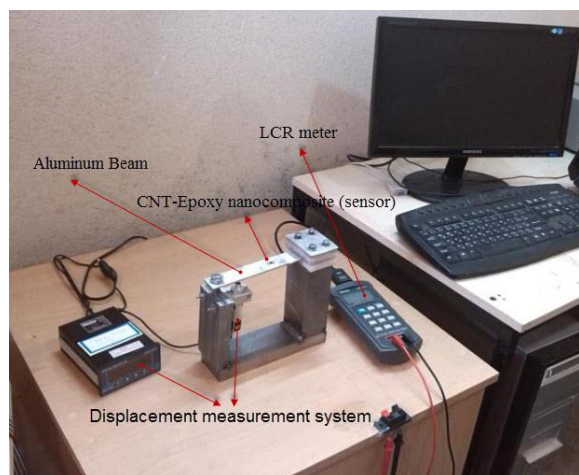
نانوماده مرکب ساخته شده حاوی اپوکسی به عنوان زمینه و نانولله کربنی چندجذاره محصول شرکت واکو ژاپن^۱ به عنوان نانوذره

فیبرهای کربنی، بلوک‌های کربن و به تازگی استفاده از نانولله‌های کربنی، به طور گسترده در تحقیقات به منظور پیزومقاومتی (خواص الاستیک، استحکام شکست و چقرمگی شکست، سختی) [۴-۱] و الکتریکی مواد مرکب [۸-۵] مورد استفاده قرار می‌گیرد. رفتار الکتریکی و مکانیکی مناسب مواد مرکب نانولله کربنی - اپوکسی سبب شده تا به عنوان یک حسگر، در ارزیابی سلامت سازه‌ها به کار رود [۱۰-۹]. این نانوذره کربنی به همراه پلیمرها، مواد مرکبی را ایجاد می‌کنند که نقش یک حسگر در ارزیابی سلامت سازه‌های بزرگتر مانند پل‌ها را دارد [۱۱]. چنانچه این حسگر در مکان‌های مناسب در سازه، جاسازی شود، تغییرشکل‌های ناخواسته در سازه سبب اعمال نیرو و پیشرفت آسیب در حسگر و در نتیجه تغییرات مقاومت الکتریکی در حسگر خواهد شد. بنابراین مفهوم پایش وضعیت سازه، براساس تغییرات هدایت الکتریکی حسگر حاسازی شده در آن سازه می‌باشد. لذا می‌توان شروع و توسعه تغییرشکل‌ها در آن سازه را با ارزیابی تغییرات الکتریکی و با گذشت زمان بررسی نمود. بهبود خصوصیات مکانیکی و الکتریکی مواد مرکب حاوی نانولله‌های کربنی تک‌جذاره و چندجذاره و سایر نانوذرات کربنی قبل از نانوذرات کربنی تک‌جذاره و چندجذاره و سایر نانوذرات کربنی نماینده‌ای از نانوذرات کربنی، همراه ماده پلیمری در صنایع مختلف به عنوان حسگرهای گازی [۱۵] و حسگرهای کرنشی [۱۶] به کار می‌رودند. وقتی نانوذرات رسانا درون زمینه پلیمری توزیع می‌شوند، یک شبکه رسانا درون زمینه پلیمری ایجاد می‌شود. میزان رسانایی این شبکه، تحت تأثیر درصد وزنی نانوذرات، آثار متقابل میان نانوذرات در زمینه پلیمری و چگونگی توزیع آنها می‌باشد [۱۸-۱۷]. تمام پارامترهای ذکر شده در قسمت قبل، ارتباط نزدیکی با ویژگی حسگری ماده مرکب نانولله‌های کربنی با زمینه پلیمری دارد. کرنش‌سنجی در ماده مرکب با پایه پلیمر حاوی نانولله‌های کربنی، بر اساس تغییرات مقاومت الکتریکی است. این تغییرات ناشی از تغییر شکل و شکست در زمینه پلیمری در هنگام بارگذاری است [۱۹-۲۱]. به دلائل زیر، تغییرات شبکه مقاومتی در شبکه رسانا، کمک به شناسایی شبکه پیزو مقاومتی در این نانوماده مرکب خواهد کرد [۲۲]. نخستین دلیل تحریب شبکه رساناست که به دلیل از بین رفتن تماس میان دو نانولله کربنی مجاور ایجاد شده است. دومین دلیل، تغییرات مقاومت تونلی میان دو نانولله کربنی مجاور می‌باشد که ناشی از

۲۰۰ میکرون انتخاب شد. این ابعاد براساس اندازه کرنش سنج های تجاری فلزی انتخاب شد. بدین منظور نمونه ها تا رسیدن به ضخامت ۲۰۰ میکرون (با کاغذ سمباده عدد ۱۵۰۰) سنباده و سپس با استفاده از محلول پولیش حاوی اکسید آلمینیا پرداخت شدند. شکل ۱ حسگر کامپوزیتی که روی یک تیر آلومینیمی چسبانده شده است را نشان می دهد.

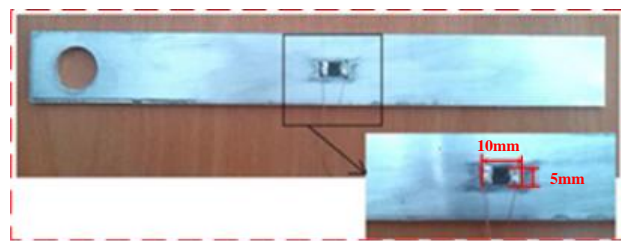
۲-۲. سیستم اندازه گیری جهت اعمال کرنش و بررسی حساسیت نمونه ها

بمنظور بررسی حساسیت به کرنش نمونه ها، از یک تیر یکسر گیردار آلومینیومی استفاده شد. بدین طریق که حسگر نانوماده مرکب در فاصله معین روی سطح تیر با استفاده از پلیمر دو جزئی می تراپل چسبانده شدند. دو سیم مسی در در دو طرف نانوماده مرکب و با چسب نقره متصل شدند. تغییرات مقاومت الکتریکی با جریان مستقیم و به روش اتصال دوتایی اندازه گیری می شود از دستگاه LCR (محصول شرکت TECPEL تایوان) بمنظور ثبت تغییرات مقاومت الکتریکی در اثر اعمال کرنش به نمونه ها استفاده شده است. این دستگاه دارای خروجی RS-232-C می باشد که قابلیت اتصال به کامپیوتر را دارد و تغییرات مقاومت الکتریکی را در هر لحظه ثبت می کند. محدوده اندازه گیری مقاومت الکتریکی این دستگاه بین $0.001\text{--}10^4$ مکا اهم می باشد. چون ضخامت نمونه های نانوماده مرکب ۲۰۰ میکرون می باشد، میزان کرنش واردہ به تیر در خارجی ترین لایه از تار خنثی، به عنوان کرنش حسگر در نظر گرفته شد.



شکل ۲. تجهیزات اندازه گیری کرنش و تغییرات مقاومت الکتریکی در تیر یک سر گیردار آلومینیمی

رسانا می باشد. قطر این نانولوله ۳ تا ۱۰ نانومتر بوده و بالای ۹۵ درصد کربن گرافیتی دارد. روند ساخت نمونه ها به دو روش مختلف انجام شد. تفاوت اصلی این دو روش در ترتیب اختلاط اجزای تشکیل دهنده است. در روش اول، ابتدا اپوکسی PR700 و CNT چندجداره و در روش دوم اپوکسی PR700 و سخت کننده PR700 PolyolST 109000 مخلوط شدند. این نوع رزین و سخت کننده محصول شرکت فرانسوی Synthene است. گفتنی است برای اختلاط مواد در تمامی مراحل، از همزن مکانیکی (IKA RW20 Digital) ساخت شرکت آلمانی IKA استفاده شده است. این دستگاه $3/1$ گیلوگرم وزن دارد و یک نمایشگر دیجیتالی تنظیم دور، بین 60 تا 2000 دور بر دقیقه دارد. در روش اختلاط اولیه رزین اپوکسی و نانولوله کربنی ابتدا با استفاده از همزن مکانیکی، اپوکسی با درصد های مختلف وزنی نانولوله کربنی ($0/0.1$) تا $(1/5)$ و زمان مخلوط 25 دقیقه با سرعت 2000 دور بر دقیقه مخلوط شدند. سپس سخت کننده به مخلوط اضافه شده و روند هم زدن به مدت یک دقیقه با سرعت 500 دور در دقیقه ادامه یافت. در انتهای مخلوط بدست آمده به مدت سه دقیقه با سرعت 240 دور در دقیقه مخلوط شدند. رزین و سخت کننده بنا بر دستور العمل سازنده به نسبت $1/1$ با هم مخلوط شدند. در روش اختلاط اولیه رزین اپوکسی و سخت کننده، اپوکسی و سخت کننده به مدت یک دقیقه با سرعت 2000 دور بر دقیقه با استفاده از همزن مکانیکی با هم مخلوط شدند، سپس به مخلوط مورد نظر درصد های مختلفی از CNT اضافه شد و هم زدن به مدت یک دقیقه با سرعت 500 دور بر دقیقه ادامه یافت. پس از فرآوری مواد سازنده نانوماده مرکب، مخلوط بدست آمده در قالب هایی از جنس تفلون ریخته شده و در دو دمای مختلف (80 و 100 درجه سانتی گراد) به مدت دو ساعت عملیات حرارتی شدند.



شکل ۱. تیر آلومینیمی و حسگر نانوماده مرکب چسبانده شده روی آن

طول و عرض نمونه هایی که برای اندازه گیری به عنوان حسگر کرنش مورد استفاده قرار گرفتند، 10 و 5 میلی متر و ضخامت آن

کرنش‌های بیشتر را می‌توان با دو دلیل اصلی توجیه کرد. اولین و مهم‌ترین دلیل، ارتباط غیرخطی فاصله نانولله‌های کربنی با هم در ماتریس پلیمری با مقاومت تونلی است که تحت عنوان تئوری سیمونز ارائه شده است [۲۲]. مبنای انتخاب این نوع از کرنش‌سنج‌ها بر اساس تغییرات الکتریکی این حسگر حین بارگذاری می‌باشد. به علاوه میان تغییرات الکتریکی و کرنش اعمال شده بر حسگر، رابطه‌ای ریاضی وجود دارد که تقریباً به صورت خطی است که در ادامه توصیف شده است.

۱-۳. نمونه‌ها با ترکیب اولیه رزین اپوکسی و نانولله کربنی

شکل ۳ تصاویر میکروسکوپ الکترونی روبشی برای فیلم‌های نانوماده مرکب ساخته شده با اختلاط اولیه رزین اپوکسی و نانولله کربنی با درصدهای وزنی مختلف (۰/۰۵، ۰/۰۲ و ۱/۵ درصد) و دمای پخت ۸۰ درجه سانتی‌گراد را نشان می‌دهد. با توجه به واکنش‌پذیری کم‌سطحی در نانولله‌های کربنی، در عمل میل بسیار ناچیزی به ایجاد واکنش بین تقویت‌کننده و ماتریس وجود دارد. این امر سبب می‌شود گاهی اعمال کرنش تنها منجر به کشیده شدن فاز ماتریس شود و فاصله نانولله‌های کربنی بدون تغییر بماند. به همین دلیل در نقاطی از نمودار تغییرات ناچیز مقاومت الکتریکی مشاهده می‌شود.

مقدار کرنش اعمال شده (ε) به نمونه نانوماده مرکب در هر مرحله از اعمال نیرو توسط پیچ، با استفاده از معادلات تیر اویلر برنولی مطابق رابطه ۱ به دست آمد. در این رابطه، x فاصله محل نصب سنسور تا انتهای ثابت تیر، L فاصله محل اعمال نیرو توسط پیچ تا انتهای ثابت تیر، EI صلابت خمشی تیر، c فاصله تار خنثی تا سطح آزاد تیر و F مقدار نیروی اعمالی توسط پیچ هستند.

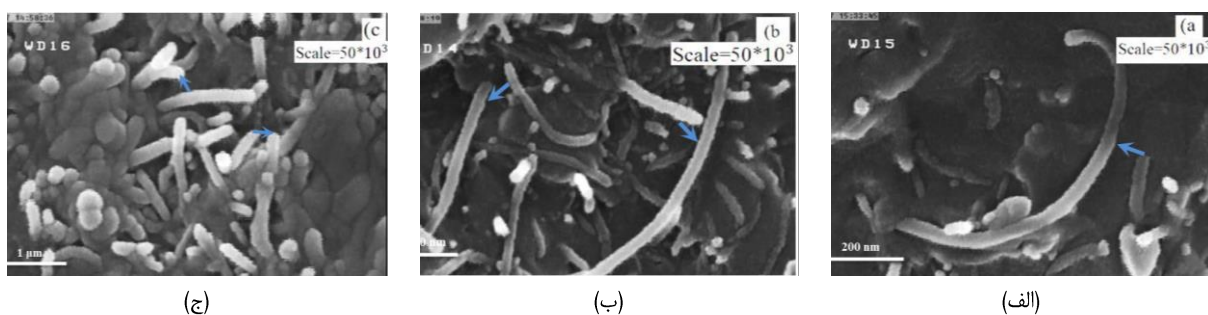
$$\epsilon = \frac{F(L-x)c}{EI} \quad (1)$$

شمایتیکی از مجموعه دستگاه‌ها، نمونه و نحوه اندازه‌گیری در شکل ۲ نمایش داده شده است. هر یک از آزمایش‌ها سه بار تکرار شده است.

۳. نتایج و بحث

۳-۱. پاسخ مقاومت الکتریکی فیلم نانوماده مرکب نانولله کربنی- اپوکسی

بهطور کلی مکانیزم کرنش‌سنج‌های پلیمری تقویت شده با نانولله کربنی را می‌توان به این دلائل نسبت داد: ۱) تغییرات آشکار شبکه رسانایی شکل‌گرفته توسط نانولله‌های کربنی با از بین رفتن تماس میان آنها؛ ۲) تغییرات مقاومت تونلی در نانولله‌های کربنی مجاور هم به دلیل تغییر فاصله؛ ۳) تغییرات پیزو مقاومتی خود نانولله‌های کربنی به دلیل تغییر شکل به وجود آمده در اثر اعمال تنش. تغییرات غیرخطی مقاومت الکتریکی به ازای اعمال



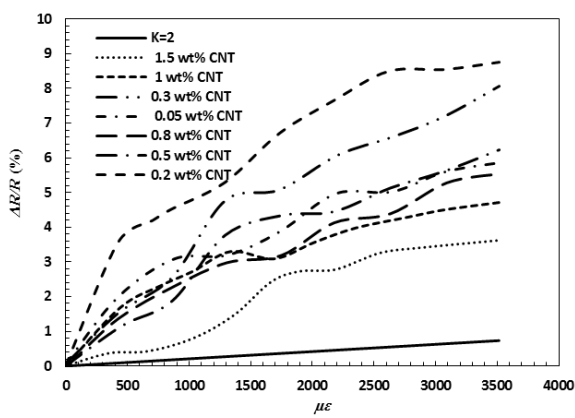
شکل ۳. تصویر FE-SEM آثار تونل زنی میان نانولله‌های کربنی مجاور برای اختلاط اولیه اپوکسی (الف) ۱/۵، (ب) ۰/۰۵، (ج) ۰/۰۲ درصد وزنی نانولله کربنی در دمای پخت ۸۰ درجه سانتی‌گراد

لذا انتظار می‌رود سهم پیزو مقاومتی نانولله‌های کربنی در مقایسه با پیزو مقاومتی کل نانوماده مرکب بسیار کوچک باشد. پاسخ پیزو مقاومتی کرنش‌سنج‌های تجاری در شکل ۴ آمده است. حساسیت حسگر را می‌توان با استفاده از کمیت ضریب گیج مشخص کرد. ضریب گیج به صورت رابطه ۲ تعریف می‌شود [۲۳] که R_0

علاوه بر این، همان‌طور که در شکل ۳ نشان داده شده است، تغییر شکل محدودی از نانولله‌های کربنی انتظار داریم که به دلیل انتقال ضعیف تنش از ماتریس پلیمری به این نوع نانولله‌های کربنی است که علاوه بر عدم تطابق الاستیک بین نانولله‌های کربنی و پلیمر، به دلیل استحکام ضعیف خط اتصال بین آنهاست.

۳-۱-۳. مقایسه پاسخ پیزو مقاومتی نانوماده مرکب با دو فرایند ساخت مختلف

همان‌گونه که در شکل‌های ۵ و ۶ مشاهده می‌شود، در هر دو حالت فرایند ساخت با تغییر مقدار کرنش وارد به حسگر، مقاومت الکتریکی نیز تغییر کرده است. همچنین در هر دو حالت فرایند ساخت، بهترین پاسخ پیزو مقاومتی برای 0.2 درصد نانولوله کربنی بدست آمده است. مقایسه همزمان رفتار پیزو مقاومتی نمونه‌ها با اختلاط اولیه رزین اپوکسی و نانولوله کربنی با کرنش‌سنج‌های تجاری (شکل ۵) به خوبی نشان می‌دهد که نمونه‌ها با اختلاط اولیه رزین اپوکسی و نانولوله کربنی منجر به حساسیت بالاتر نمونه‌ها نسبت به کرنش‌سنج‌های تجاری شده است. همان‌گونه که مشاهده می‌شود، با تغییر مقدار کرنش وارد به حسگر، مقاومت الکتریکی نیز تغییر کرده است. با توجه به بالابودن مقاومت الکتریکی نمونه‌ها با 0.01 و 0.02 درصد CNT، قابلیت اندازه‌گیری مقاومت الکتریکی این نمونه‌ها را نداشتیم و نتایج این نمونه‌ها در نتایج آورده نشده است. در این حالت، بهترین حساسیت نمونه‌ها به ازای 0.2 درصد وزنی به دست آمده است.



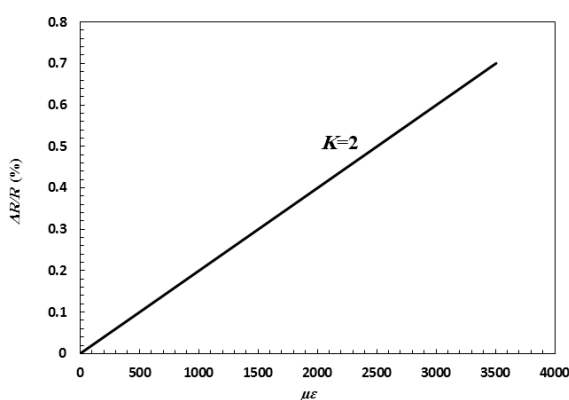
شکل ۵. مقایسه پاسخ پیزو مقاومتی نانوماده مرکب با اختلاط اولیه اپوکسی و CNT

مقاومت الکتریکی اولیه نمونه، ΔR تغییر مقاومت الکتریکی نمونه تحت کرنش مشخص و ϵ مقدار کرنش اعمال شده به نمونه نانوماده مرکب است. مقدار ضریب گیج در کرنش‌سنج‌های تجاری برابر 2 می‌باشد [۲۳].

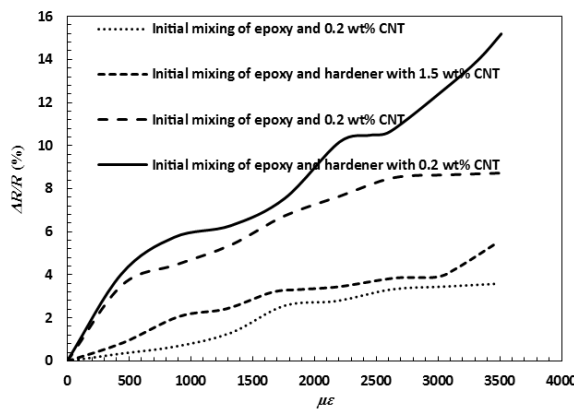
$$K = \frac{\Delta R}{\epsilon R_0} \quad (2)$$

مقایسه همزمان رفتار پیزو مقاومتی نمونه‌ها با اختلاط اولیه رزین اپوکسی و نانولوله کربنی با کرنش‌سنج‌های تجاری (شکل ۵) به خوبی نشان می‌دهد که نمونه‌ها با اختلاط اولیه رزین اپوکسی و نانولوله کربنی منجر به حساسیت بالاتر نمونه‌ها نسبت به کرنش‌سنج‌های تجاری شده است. همان‌گونه که مشاهده می‌شود، با تغییر مقدار کرنش وارد به حسگر، مقاومت الکتریکی نیز تغییر کرده است. با توجه به بالابودن مقاومت الکتریکی نمونه‌ها با 0.01 و 0.02 درصد CNT، قابلیت اندازه‌گیری مقاومت الکتریکی این نمونه‌ها را نداشتیم و نتایج این نمونه‌ها در نتایج آورده نشده است. در این حالت، بهترین حساسیت نمونه‌ها به ازای 0.2 درصد وزنی به دست آمده است.

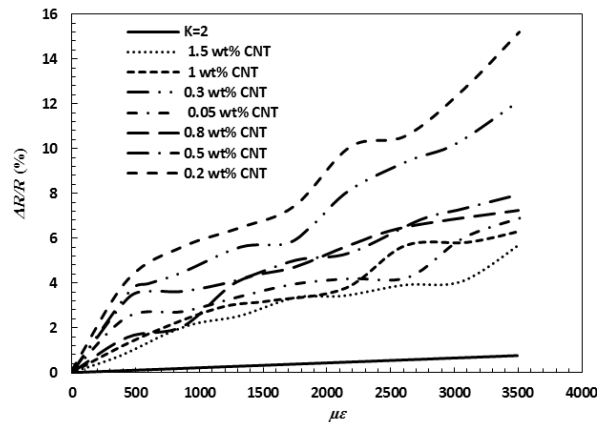
۳-۱-۳. نمونه‌ها با ترکیب اولیه رزین اپوکسی و سخت‌کننده شکل ۶ پاسخ پیزو مقاومتی فیلم‌های نانوماده مرکب ساخته شده با اختلاط اولیه اپوکسی و سخت‌کننده با درصد های وزنی مختلف (از 0.01 تا 0.05) و دمای پخت 80 درجه سانتی‌گراد را نشان می‌دهد. همان‌گونه که مشاهده می‌شود، با تغییر مقدار کرنش وارد به حسگر، مقاومت الکتریکی نیز تغییر کرده است. با توجه به شکل ۶ مشخص می‌شود که در این حالت نیز بهترین حساسیت برای 0.2 درصد نانولوله کربنی به دست آمده است.



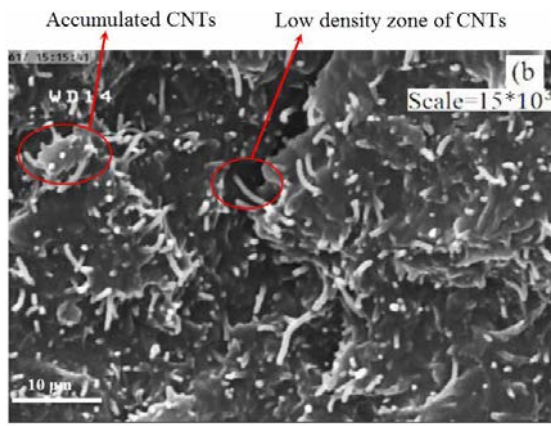
شکل ۶. نمودار پاسخ پیزو مقاومتی کرنش‌سنج‌های تجاری [۲۳]



شکل ۷. پاسخ پیزو مقاومتی نانوماده مرکب با روش های مختلف آماده سازی برای $0/2$ درصد وزنی CNT



شکل ۶. مقایسه پاسخ پیزو مقاومتی نانوماده مرکب با اختلاط اولیه اپوکسی و سخت کننده



شکل ۸ تصویر سطح شکست نمونه ها با $0/2$ درصد ورنی نانولوله کربنی برای
الف) اختلاط اولیه اپوکسی و نانولوله کربنی، ب) اختلاط اولیه اپوکسی و سخت کننده



فرایند، فرایند نفوذ است. درصد وزنی ذرات پرکننده در این مرحله، آستانه نفوذ نامیده می شود. بالاترین حساسیت در یک نانوماده مرکب زمانی به دست می آید که درصد وزنی نانولوله های کربنی به مقدار آستانه نفوذ نزدیک باشد [۲۲، ۱۶]. با توجه به نتایج به دست آمده برای نمونه های ساخته شده به نظر می رسد که مقدار آستانه نفوذ برای هر دو فرایند ساخت نانوماده مرکب در محدوده $0/2$ درصد وزنی نانولوله کربنی باشد.

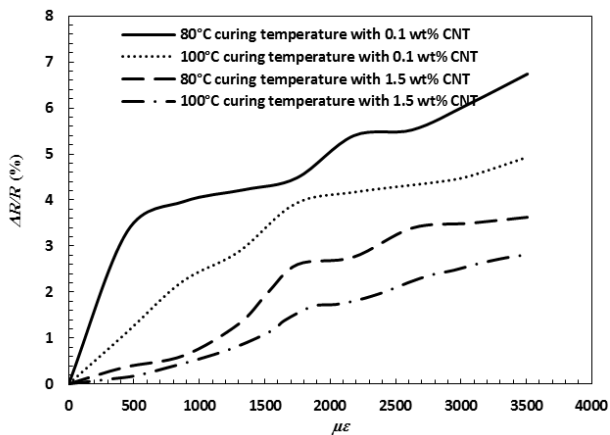
۳-۳. اثر دمای فرایند پخت نانوماده مرکب بر حساسیت حسگر

درجه حرارت بالا در فرایند پخت می تواند رسانایی الکتریکی نانوماده مرکب را افزایش دهد؛ زیرا درجه حرارت بالا موجب افزایش تحرك نانولوله های کربنی شده و روند شکل گیری شبکه رسانایی خلی آسان تر و سریع تر می شود. لذا در حالتی که دمای

۳-۲. بررسی مقادیر آستانه نفوذ الکتریکی برای نمونه های مختلف

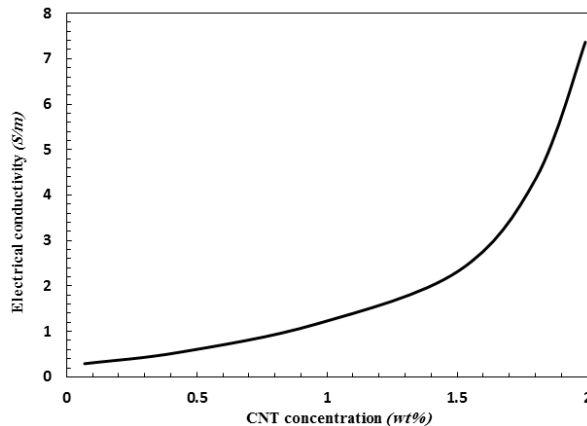
وقتی در یک نانوماده مرکب ماده زمینه (عایق) و نانولوله کربنی (رسانا) با هم ترکیب شوند، ممکن است چندین نانولوله کربنی مختلف به صورت زنجیروار به هم رسیده و تشکیل یک مسیر میانی در فیلم نازک دهنده و نانوماده مرکب را از حالت عایق به سمت رسانا بودن منحرف کند. تئوری که رابطه بین تراکم پرکننده (نانولوله های کربنی در این مورد خاص) و رسانایی را توصیف می کند، تئوری نفوذ نامیده می شود [۱۶]. همان گونه که در شکل نیز مشاهده می شود (شکل ۹)، یک مقدار بحرانی برای تراکم پرکننده وجود دارد، اگر میزان تراکم پرکننده زیر مقدار بحرانی باشد احتمال تشکیل مسیر رسانایی برابر صفر است و اگر بیشتر از مقدار بحرانی باشد مسیر رسانا تشکیل می شود و رسانایی الکتریکی نانوماده مرکب به طور قابل توجهی افزایش می یابد. این

ساخت و به ازای درصدهای وزنی مختلف از نانولوله کربنی در شکل‌های ۱۰ و ۱۱ نشان داده شده است. با توجه به شکل مشخص است که نمونه‌های ساخته شده با دمای پخت پایین‌تر دارای حساسیت بهتری نسبت به کرنش اعمال شده هستند.

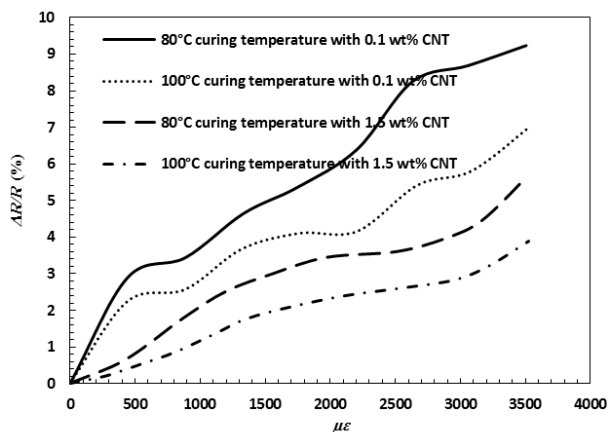


شکل ۱۰. مقایسه پاسخ پیزو مقاومتی نمونه‌ها با دمای پخت مختلف برای اختلاط اولیه اپوکسی و نانولوله کربنی

فرایند پخت پایین باشد می‌تواند مقاومت الکتریکی نانوماده مرکب را افزایش دهد. یک شبکه رسانایی پراکنده با مقاومت بالا می‌تواند برای بهدست آوردن حساسیت حسگری بالاتر مطلوب باشد [۲۴]. تأثیر دمای پخت نانوکامپوزیت بر حساسیت حسگر با دو فرایند



شکل ۹. منحنی آستانه نفوذ الکتریکی نانوماده مرکب



شکل ۱۱. مقایسه پاسخ پیزو مقاومتی نمونه‌ها با دمای پخت مختلف برای اختلاط اولیه اپوکسی و سخت کننده

به سخت شدن می‌کند، مدت زمان فرایند تولید در این روش نمی‌تواند طولانی باشد. به همین دلیل در روش اختلاط اولیه اپوکسی و سخت کننده، نانولوله‌های کربنی به خوبی در ماتریس اپوکسی پخش نمی‌شوند. مقایسه تصاویر نشان می‌دهد در حالت اختلاط اولیه اپوکسی و سخت کننده، کلوخه‌های بیشتری از نانولوله‌های کربنی، نسبت به حالت اختلاط اولیه اپوکسی و نانولوله کربنی وجود دارد. وجود توده‌های جمع شده از نانولوله کربنی، تأثیر بسیاری بر هدایت

۴. نتیجه‌گیری

در این مقاله نانوماده مرکب نانولوله کربنی - اپوکسی با استفاده از همزن مکانیکی و با درصدهای مختلف وزنی از نانولوله‌های کربنی آماده شد. با استفاده از میکروسکوپ الکترونی، ریزساختار نانوماده مرکب ارزیابی شد؛ به طوری که توزیع اتفاقی و نسبتاً یکنواخت نانولوله کربنی چند جداره درون زمینه اپوکسی مشاهده شد. به این ترتیب رسانایی و استحکام مناسب برای نانوماده مرکب حاصل شد. نتایج این تحقیق به شرح زیر می‌باشند:

۱. در حالت اختلاط اولیه اپوکسی و سخت کننده، باید توجه داشت چون با افزودن سخت کننده مخلوط شروع

- پیزومقاومتی نانولوله‌های کربنی در مقایسه با پیزومقاومتی کل نانوماده مرکب بسیار کوچک باشد
۴. آثار درصد وزنی نانولوله کربنی و زمان اضافه کردن سخت‌کننده در رفتار حسگری نانوماده مرکب مورد بررسی قرار گرفت. نتایج این تحقیق نشان داد که اختلاط اولیه اپوکسی و سخت‌کننده منجر به حساسیت بیشتر حسگر می‌شود. همچنین درصدهای وزنی نسبتاً پایین‌تر نانوماده مرکب منجر به حساسیت بهتر می‌شود، به گونه‌ای که بالاترین حساسیت حسگر برای هر دو فرایند ساخت به ازای 20% درصد وزنی نانولوله کربنی باشد
۵. بالاترین حساسیت در یک نانوماده مرکب زمانی به دست می‌آید که درصد وزنی نانولوله‌های کربنی به مقدار آستانه نفوذ نزدیک باشد. با توجه به نتایج به دست آمده برای نمونه‌های ساخته شده، به نظر می‌رسد مقدار آستانه نفوذ برای هر دو فرایند ساخت نانوماده مرکب در محدوده 20% درصد وزنی نانولوله کربنی باشد
۶. آماده‌سازی نمونه‌ها با دو دما پخت مختلف نشان داد که نمونه‌های ساخته شده با دمای پخت پایین‌تر دارای حساسیت بهتری نسبت به کرنش اعمال شده هستند

الکترویکی و حساسیت فیلم پلیمری تقویت شده با نانولوله کربنی دارد

۲. به طور کلی، مکانیزم عملکرد کرنش سنج‌های پلیمری تقویت شده با نانولوله کربنی را می‌توان به دلائل زیر نسبت داد: تغییرات آشکار شبکه رسانایی شکل‌گرفته توسط نانولوله‌های کربنی با از بین رفتن تماس میان آنها، تغییرات مقاومت تونلی در نانولوله‌های کربنی مجاور هم به دلیل تغییر فاصله و تغییرات پیزومقاومتی خود نانولوله‌های کربنی به دلیل تغییر شکل به وجود آمده در اثر اعمال تنفس

۳. با توجه به واکنش پذیری کم سطحی در نانولوله‌های کربنی، در عمل میل بسیار ناچیزی به ایجاد واکنش بین تقویت کننده و ماتریس وجود دارد. علاوه بر این، تغییر شکل بسیار محدودی از نانولوله‌های کربنی انتظار می‌رود که به دلیل انتقال ضعیف تنفس از ماتریس اپوکسی به این نوع نانولوله‌های کربنی می‌باشد که علاوه بر عدم تطابق الاستیک بین نانولوله‌های کربنی و پلیمر (مدول الاستیک نانولوله کربنی برابر یک تراپاکسکال در حالی که مدول الاستیک اپوکسی $2/4$ گیگاپاکسکال می‌باشد)، به دلیل استحکام ضعیف خط اتصال میان آنها نیز می‌باشد. لذا انتظار می‌رود سهم

۴. مأخذ

- [1] J. Suhr, N. Koratkar, P. Kebinski, P. Ajayan, Viscoelasticity in carbon nanotube composites, *Nature materials*, Vol. 4, No. 2, pp. 134-137, 2005.
- [2] F. Gojny, M. Wichmann, U. Köpke, B. Fiedler, K. Schulte, Carbon nanotube-reinforced epoxy-composites: enhanced stiffness and fracture toughness at low nanotube content, *Composites Science and Technology*, Vol. 64, No. 15, pp. 2363-2371, 2004.
- [3] E. T. Thostenson, T. W. Chou, On the elastic properties of carbon nanotube-based composites: modelling and characterization, *Journal of Physics D: Applied Physics*, Vol. 36, No. 5, pp. 573, 2003.
- [4] E. T. Thostenson, T. W. Chou, Aligned multi-walled carbon nanotube-reinforced composites:
- processing and mechanical characterization, *Journal of physics D: Applied physics*, Vol. 35, No. 16, pp. L77, 2002.
- [5] F. Du, J. E. Fischer, K. I. Winey, Effect of nanotube alignment on percolation conductivity in carbon nanotube/polymer composites, *Physical Review B*, Vol. 72, No. 12, pp. 121404, 2005.
- [6] B. Vigolo, C. Coulon, M. Maugey, C. Zakri, P. Poulin, An experimental approach to the percolation of sticky nanotubes, *Science*, Vol. 309, No. 5736, pp. 920-923, 2005.
- [7] L. Wang, Z. M. Dang, Carbon nanotube composites with high dielectric constant at low percolation threshold, *Applied physics letters*, Vol. 87, No. 4, pp. 042903, 2005.
- [8] J. Sandler, J. Kirk, I. Kinloch, M. Shaffer, A. Windle, Ultra-low electrical percolation threshold

- in carbon-nanotube-epoxy composites, *Polymer*, Vol. 44, No. 19, pp. 5893-5899, 2003.
- [9] K. Schulte, C. Baron, Load and failure analyses of CFRP laminates by means of electrical resistivity measurements, *Composites science and technology*, Vol. 36, No. 1, pp. 63-76, 1989.
- [10] B. M. Lee, S. Gupta, K. J. Loh, S. Nagarajaiah, Strain sensing and structural health monitoring using nanofilms and nanocomposites, *Innovative Developments of Advanced Multifunctional Nanocomposites in Civil and Structural Engineering*, pp. 303, 2016.
- [11] D. D. Chung, Self-monitoring structural materials, *Materials Science and Engineering: R: Reports*, Vol. 22, No. 2, pp. 57-78, 1998.
- [12] J. N. Coleman, U. Khan, W. J. Blau, Y. K. Gun'ko, Small but strong: a review of the mechanical properties of carbon nanotube-polymer composites, *Carbon*, 2006, Vol. 44, No. 9, pp. 1624-1652, 1998.
- [13] D. J. Kwon, Z. J. Wang, J. Y. Choi, P. S. Shin, K. L. DeVries, J. M. Park, Damage sensing and fracture detection of CNT paste using electrical resistance measurements, *Composites Part B: Engineering*, Vol. 90, pp. 386-391, 2016.
- [14] S. Mishra, K. Kumaran, R. Sivakumaran, S. P. Pandian, S. Kundu, Synthesis of PVDF/CNT and their functionalized composites for studying their electrical properties to analyze their applicability in actuation & sensing, *Colloids and Surfaces A: Physicochemical and Engineering Aspects*, Vol. 509, pp. 684-696, 2016.
- [15] C. Li, E. T. Thostenson, T. W. Chou, Sensors and actuators based on carbon nanotubes and their composites: a review, *Composites Science and Technology*, Vol. 68, No. 6, pp. 1227-1249, 2008.
- [16] E. T. Thostenson, T. W. Chou, Carbon nanotube networks: sensing of distributed strain and damage for life prediction and self healing, *Advanced Materials*, Vol. 18, No. 21, pp. 2837-2841, 2006.
- [17] I. Alig, P. Pötschke, D. Lellinger, T. Skipa, S. Pegel, G. R. Kasaliwal, T. Villmow, Establishment, morphology and properties of carbon nanotube networks in polymer melts, *Polymer*, Vol. 53, No. 1, pp. 4-28, 2012.
- [18] M. Moniruzzaman, K. I. Winey, Polymer nanocomposites containing carbon nanotubes, *Macromolecules*, Vol. 39, No. 16, pp. 5194-5205, 2006.
- [19] L. Flandin, Y. Brechet, J. Y. Cavaille, Electrically conductive polymer nanocomposites as deformation sensors, *Composites Science and Technology*, Vol. 61, No. 6, pp. 895-901, 2001.
- [20] R. Zhang, M. Baxendale, T. Peijs, Universal resistivity-strain dependence of carbon nanotube/polymer composites, *Physical Review B*, Vol. 76, No. 19, pp. 195433, 2007.
- [21] M. Nofar, S. Hoa, M. Pugh, Failure detection and monitoring in polymer matrix composites subjected to static and dynamic loads using carbon nanotube networks, *Composites Science and Technology*, Vol. 69, No. 10, pp. 1599-1606, 2009.
- [22] N. Hu, Y. Karube, C. Yan, Z. Masuda, H. Fukunaga, Tunneling effect in a polymer/carbon nanotube nanocomposite strain sensor, *Acta Materialia*, Vol. 56, No. 13, pp. 2929-2936, 2008.
- [23] A. Ferreira, J. Rocha, A. Ansón-Casaos, M. Martínez, F. Vaz, S. Lanceros-Mendez, Electromechanical performance of poly(vinylidene fluoride)/carbon nanotube composites for strain sensor applications, *Sensors and Actuators A: Physical*, Vol. 178, pp. 10-16, 2012.
- [24] N. Hu, H. Fukunaga, S. Atobe, Y. Liu, J. Li, Piezoresistive strain sensors made from carbon nanotubes based polymer nanocomposites, *Sensors*, Vol. 11, No. 11, pp. 10691-10723, 2011.

پی‌نوشت

1. Wako pure chemicals